



## رخداد زئولیت‌های پر کننده حفره‌ها و شکستگی‌ها در مجموعه آتشفسانی شمال غرب ساوه، ایران مرکزی

زینب محمدی چقامارانی<sup>۱\*</sup>، امیرعلی طبّاخ شعبانی<sup>۱</sup>، کمال الدین بازرگانی گیلانی<sup>۲</sup>، مرتضی دلاوری کوشان<sup>۱</sup>

۱- دانشکده علوم زمین، دانشگاه خوارزمی، تهران

۲- دانشکده زمین‌شناسی، دانشگاه تهران، تهران

(دریافت مقاله: ۹۷/۱۰/۸، نسخه نهایی: ۹۸/۱۲۸)

**چکیده:** مجموعه آتشفسانی ائوسن منطقه پرنده در ۳۰ کیلومتری شمال شرق ساوه میزبان گونه‌های مختلف زئولیت به صورت پرکننده حفره‌ها، بادامک‌ها و شکستگی‌هاست. عناصر سازای آنها از دگرسانی خمیره شیشه‌ای سنگ و کانی‌های اوپی‌ماگمایی تأمین شده است. این زئولیت‌ها به ترتیب فراوانی عبارتند از ناترولیت، مزولیت، تتراناترولیت، اسکولوسیت، تامسونیت، شابازیت، آنالسیم، استیلوبیت و اپی‌استیلوبیت. دیگر کانی‌های ثانویه در ارتباط با آنها شامل کلریت، اسماکتیت، کلسیت‌های نسل I و II، کوارتز و کلسیونی هستند. تشکیل زئولیت‌ها در بازالت‌های منطقه مورد بررسی با نسبت Si/Al کم با زئولیت‌های سدیم‌دار شروع و به تدریج با افزایش مقدار کلسیم و نسبت Al/Si با زئولیت‌های کلسیم‌دار بیشتر پایان می‌یابد. به نظر می‌رسد که زئولیت‌ها طی دو مرحله فعالیت محلول‌های گرمابی شکل گرفته باشند، در مرحله نخست تتراناترولیت، ناترولیت، آنالسیم، مزولیت و در مرحله دوم تامسونیت، شابازیت، اسکولوسیت، استیلوبیت و اپی‌استیلوبیت. دمای تشکیل این زئولیت‌ها کمتر از ۱۵۰ درجه سانتی‌گراد برآورد می‌شود.

**واژه‌های کلیدی:** بازالت؛ زئولیت‌ها؛ دگرسانی گرمابی؛ ائوسن؛ پرنده؛ ساوه.

ساخтар آنها سه بعدی بوده و از چاروچه‌های مشخص تشکیل شده است و کانال‌های به هم پیوسته آنها توانایی واکنش برگشت‌پذیری هیدرات و دهیدرات و تعویض کاتیون‌ها با محلول‌های آبی را دارند. مقدار زیادی از سیلیسیم، آلومینیوم و کاتیون‌های ضروری قلیایی و قلیایی خاکی برای تشکیل زئولیت‌ها می‌تواند برآمده از دگرسانی خمیره شیشه‌ای آتشفسانی‌ها و فلدسپارها باشد. زئولیت‌های موجود در سنگ‌های آتشفسانی منطقه پرنده در شمال شرق ساوه تا کنون از نظر کانی‌شناسی و ترکیب شیمیایی به دقت بررسی نشده است. از این رو، هدف از این پژوهش شناسایی زئولیت‌های طبیعی پرکننده حفره‌ها و شکستگی‌ها در سنگ‌های آتشفسانی، تعیین توالی شکل‌گیری زئولیت‌ها و دیگر کانی‌های ثانویه همراه و خاستگاه آنهاست.

### مقدمه

زئولیت‌ها در محیط‌های مختلف زمین‌شناسی تشکیل می‌شوند [۱-۳]. بازرگانی گیلانی و همکاران [۱] زئولیت‌ها را از نظر خاستگاه به چهار دسته گرمابی، دگرگونی، رسوبی و آنالسیم تقسیم کردند: خود شکل. بیشتر زئولیت‌ها طی روند میانزایی در سنگ‌های رسوبی شکل می‌گیرند. تبلور زئولیت‌های با خاستگاه گرمابی اغلب در سنگ‌های آتشفسانی وابسته به سیستم‌های زمین گرمابی فعال همچنین به عنوان فراورده‌های دگرسانی در راستای صفحه‌های گسل‌ها، شکستگی‌ها و حفره‌ها در سنگ‌های آذرین بیشتر بازی رخ می‌دهد [۴]. محیط تشکیل زئولیت‌ها خنثی تا قلیایی ( $pH = ۷-۱۰$ ) و اشباع از آب است که آنها اغلب در گستره دمایی  $۵۰-۲۵۰$  درجه سانتی‌گراد و فشار کمتر از  $۲۰۰$  مگا پاسکال شکل می‌گیرند [۲، ۵].

پورفیری و حفره‌دار است که گاهی به علت وجود اکسیدهای آهن به رنگ قرمز نیز دیده می‌شود. واحد آندزیتی، آندزیت بازالتی و بازالت ( $E^{a-b}$ ) حفره‌ها، و شکستگی‌ها و زئولیت‌زایی کمتری دارد که چنین برآورد می‌شود که پراکنندگی زئولیت‌های آن توسط شرایط آب‌شناسی و تخلخل سنگ میزبان کنترل شده باشد [۳، ۶].

### روش‌های بررسی

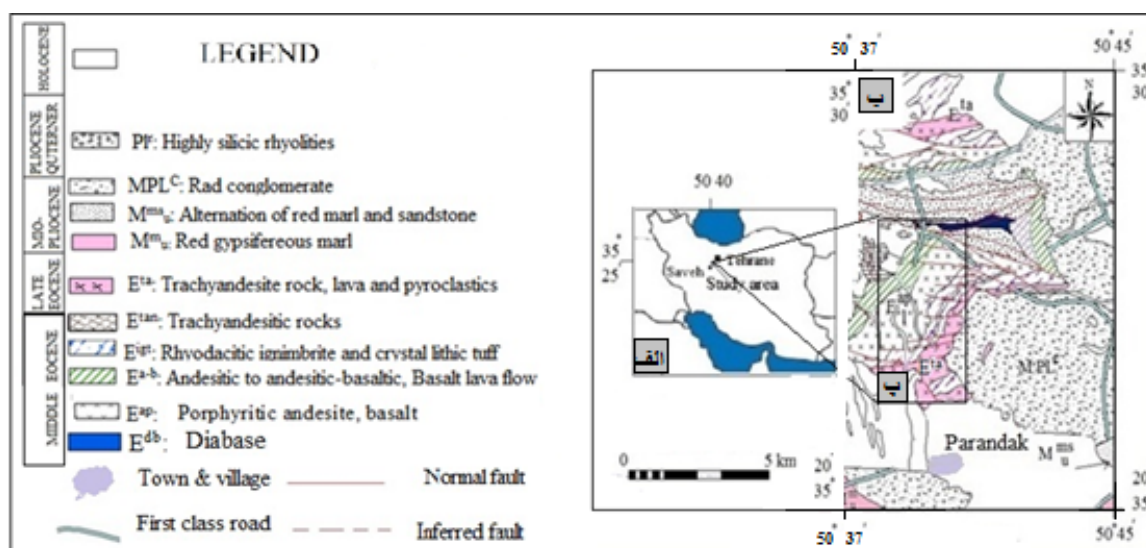
بررسی‌های صحرایی جهت شناسایی زئولیت‌ها و سنگ میزبان آنها طی ماههای اسفند ۱۳۹۴ و فروردین و اردیبهشت ۱۳۹۵ انجام شد. کار میدانی در محل شامل برداشت نمونه‌های دربردارنده زئولیت طبیعی و دیگر کانی‌های ثانویه همراه آنها در حفره‌ها، رگچه‌ها و شکستگی‌ها از چندین رخنمون بود. جهت بررسی‌های میکروسکوپی و ریزپردازش الکترونی، از تعداد ۵۰ نمونه شامل زئولیت و سنگ میزبان آن مقطع نازک و نازک صیقلی در دانشگاه خوارزمی تهران و فردوسی مشهد تهیه شد. صیقلی در منظور تعیین گونه‌های زئولیت، ۵ نمونه زئولیتی به روش پراش سنجی پرتوی ایکس به روش پودر (XRD) در دانشگاه دامغان بررسی شدند. ترکیب شیمی کانی‌ها با استفاده از ریزپردازشگر الکترونی مدل Cameca SX100 با ولتاژ ۱۵ kV و جریان ۱۰ nA در مرکز فرآوری مواد معدنی ایران برای ۳ نمونه مقطع نازک صیقلی تعیین شد.

### زمین‌شناسی منطقه

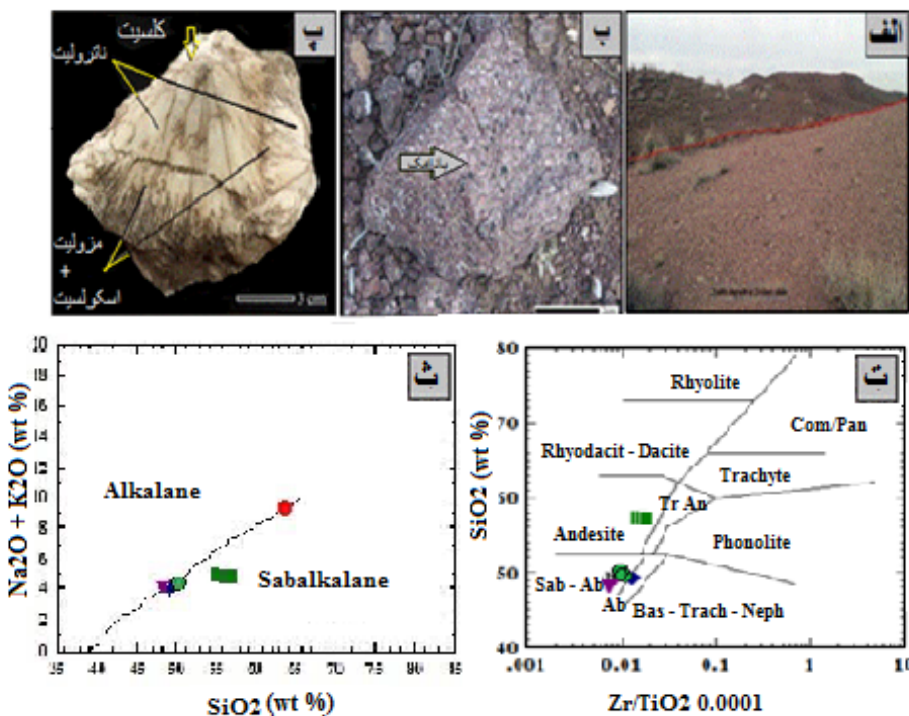
ناحیه مورد بررسی در گستره طول جغرافیایی  $37^{\circ} ۳۷' - ۳۷^{\circ} ۵۰'$  و عرض جغرافیایی  $۲۰^{\circ} ۳۵' - ۲۰^{\circ} ۳۰'$  در شمال غرب ورقه ۱:۱۰۰۰۰۰ از نظر تقسیم‌بندی زمین‌شناسی ساختاری، مجموعه سنگ‌های آتشفسانی ناحیه پرنده با راستای شمال غرب - جنوب شرق در پهنه ایران مرکزی و نوار ماقمایی ارومیه - دختر واقع است که در ۳۵ کیلومتری شمال شرق ساوه قرار دارد [۶، ۷]. سن سنگ‌های آتشفسانی و آذرآواری اثوسن میانی - بالایی است و نیشته‌های رسوبی نوزا هستند (شکل ۱). اغلب رخنمون‌های سنگ‌های آتشفسانی شمال شرق ساوه در راستای گسل‌هایی با روندهای شمال غرب - جنوب شرق و شرقی - غربی دیده می‌شوند. قسمت‌های شرق و جنوب منطقه مورد بررسی توسط رسب-های کنگلومرا، مارن و گچ احاطه شده که معادل بخش سازند سرخ بالایی است.

### بررسی‌های صحرایی

در منطقه پرنده غنی‌ترین واحد از نظر زئولیت‌زایی واحد آندزیت پورفیری و بازالت است (شکل ۱) که طول رخنمون آن حدود ۱۰ کیلومتر بوده و ضخامت آن در طول رخنمون متغیر است. این واحد به دلیل تفاوت در رنگ و فراوانی زئولیت از دیگر واحدها متمایز می‌شود (شکل ۲ الف). بافت غالب آن



شکل ۱ الف-جایگاه منطقه مورد بررسی در نقشه ایران، ب- نقشه زمین‌شناسی منطقه مورد بررسی (برگرفته از نقشه زمین‌شناسی ۱/۱۰۰۰۰۰ زاویه (۱۳۸۴)، سازمان زمین‌شناسی کشور) و پ گستره نمونه‌برداری از زئولیت‌ها، سنگ میزبان آنها و واحدهای آتشفسانی و آذرآواری اثوسن میانی و بالایی.



شکل ۲ الف-واریزه زئولیت شمال منطقه پرندک که به شکل دانه‌های برفی رنگ در سطح زمین پراکنده شده‌اند. این واحد نسبت به واحد-های همسایه بدون زئولیت دارد رنگ روشن‌تری (دید به سمت شمال)، ب- رشد زئولیت‌ها در حفره‌ها و تشکیل بادامک‌ها در سنگ میزبان آندزیتی، پ- اجتماعی از بلور درشت و بلند زئولیت‌ها که به طور شعاعی و اسفلولیتی رشد نموده‌اند، ت- نمودار  $\text{SiO}_2$  بر اساس  $\text{Zr}/\text{TiO}_2$  نسبت به  $\text{Na}_2\text{O}+\text{K}_2\text{O}$  برای تعیین سری ماقمایی سنگهای منطقه پرندک. که بر اساس روش مک دونالد به در گستره قلیایی و نیمه قلیایی تفکیک شده است.

قرار دارند (شکل ۲ ت). با توجه به شکل ۲ ث، سری ماقمایی بر اساس نمودار مجموع عناصر قلیایی نسبت به سیلیس سنگ-های منطقه مورد بررسی در گستره نیمه قلیایی و روی مرز قرار دارند [۹].

#### سنگنگاری و زمین‌شیمی سنگ میزبان زئولیت‌ها

اغلب زئولیت‌ها ویژگی‌های نوری ویژه‌ای دارند که روش پراش سنجی پرتو ایکس و تجزیه به روش ریزپردازش الکترونی تعیین شدند. بر اساس بررسی‌های سنگنگاری تعداد قابل توجهی از مقاطع نازک، همچنین نتایج ریزپردازشی و پراش سنجی، فراوانی بر پایه رخداد یا ترکیب مودال زئولیت‌ها تعیین شد. کانی‌های زئولیت در منطقه به ترتیب فراوانی شامل ناترولیت، مزولیت، تتراناترولیت، اسکولسیت، تامسونیت، شابازیت، استیلوبیت، آنالسیم و اپی استیلوبیت هستند که در ادامه توضیح داده می‌شود. گفتنی است که هیچ یک از حفره‌ها همه گونه‌های زئولیت را با هم ندارند، در یک حفره تا ۳-۴ نوع زئولیت دیده شده است.

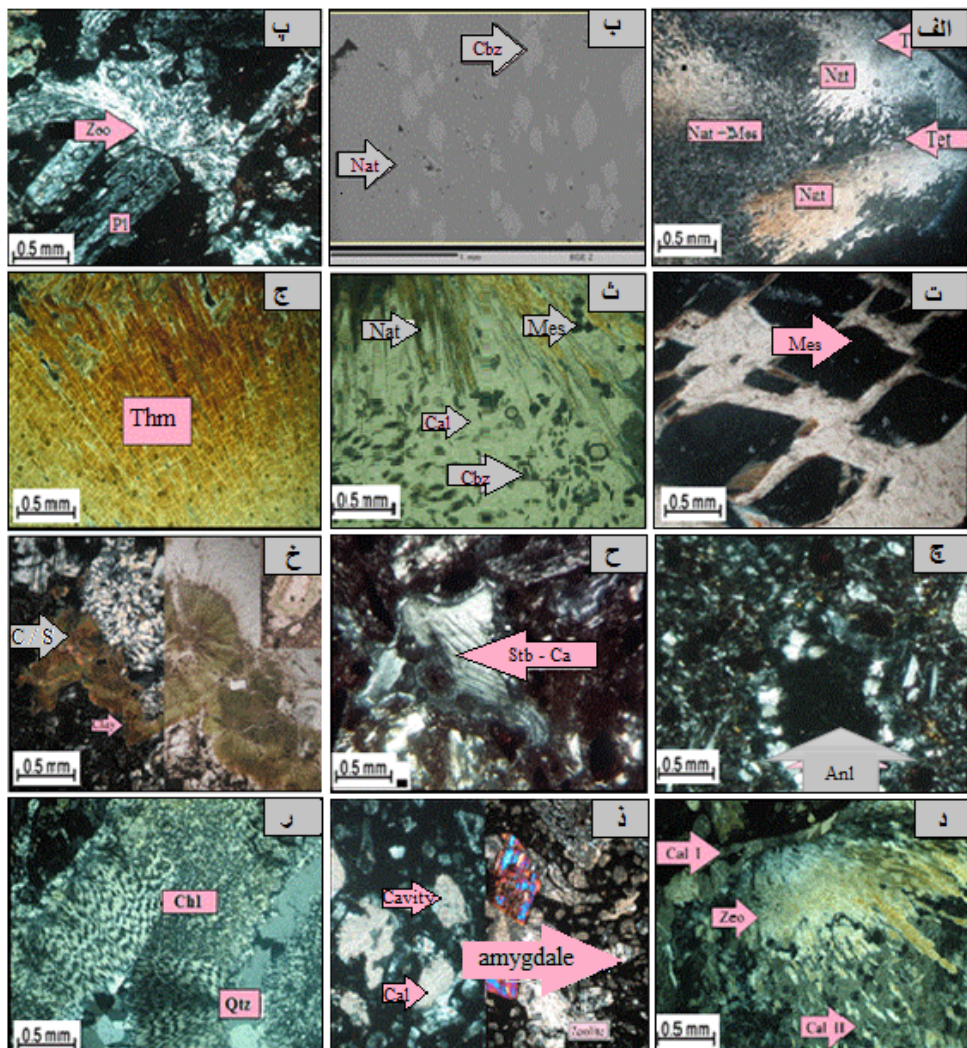
سنگنگاری و زمین‌شیمی سنگ میزبان زئولیت‌ها رخداد زئولیت‌ها را می‌توان در بادامک‌ها، رگچه‌ها و به صورت جانشینی در کانی پلازیوکلاز سنگ‌های آتشفسانی بازی و حدواسط منطقه پرندک مشاهده کرد (شکل‌های ۲ ب و پ). بررسی سنگ میزبان زئولیت‌ها در شناخت فرآیندهای مؤثر در شکل‌گیری آنها و ارتباط سنگ میزبان با نوع زئولیت تشکیل شده الزامی است. سنگ‌های بازی و حدواسط میزبان شامل بازالت و آندزیت‌هایی با بافت عمده شیشه‌ای ریزسنگی پورفیری تا گلومرپورفیری بوده و درشت بلورهای آن شامل پلازیوکلاز، کلینوپیروکسن‌های بدون دگرسانی و الیوین‌های ایدینگزیته هستند. زمینه سنگ در بردارنده ریزسنگ‌های پلازیوکلاز، کلینوپیروکسن و کانی‌های کدر در یک خمیره شیشه‌ای دگرسان شده شامل اکسیدهای آهن و کلسیت است. برپایه رده‌بندی زمین‌شیمیایی وینچستر و فلوید<sup>۱</sup> [۸]، سنگ-های میزبان زئولیت‌ها در گستره بازالت نیمه قلیایی و آندزیت

1- Winchester and Floyd

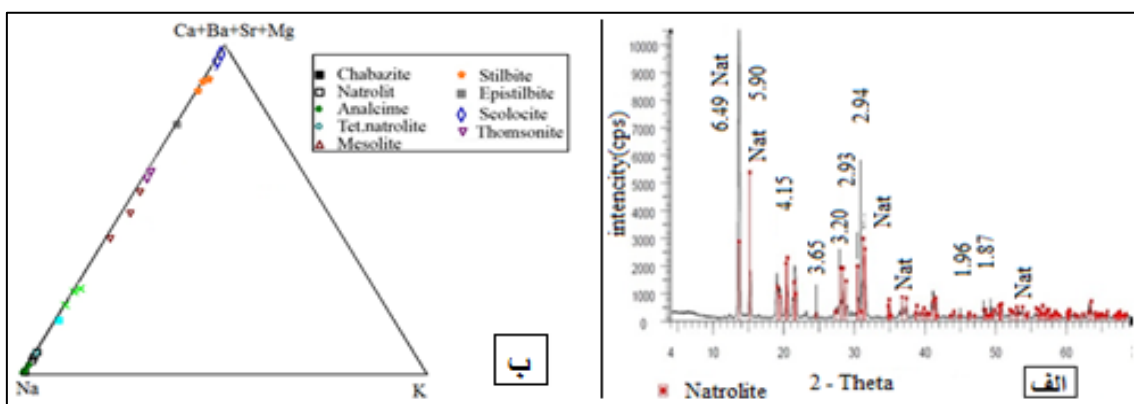
### ناتروولیت

ناتروولیت بیشترین فراوانی را در منطقه دارد و در نمونه‌های برداشت شده از بادامک‌ها، شکستگی‌ها، پوک سنگ‌ها، رگه‌ها و رگچه‌ها به رنگ سفید به صورت سوزنی شعاعی اغلب با هم رشدی با دیگر کانی‌های زئولیتی دیده می‌شود (شکل ۲ الف).

ناتروولیت در مقاطع میکروسکوپی به شکل بلورهای کشیده در راستای محور C و همچنین به صورت سوزنی شعاعی و متراکم مشاهده شده است (شکل‌های ۳ الف، ب، پ). شکل ۴ الف الگوی پراش پرتوی ایکس نمونه خالص ناتروولیت برداشت شده از رگه زئولیتی واحد آندزیت پورفیری (E<sup>ap</sup>) را نشان می‌دهد.



شکل ۳ الف- تصویر میکروسکوپی از زئولیت‌های رشتهدی نمونه برداشت شده از رگه سنگ‌های بازالتی منطقه پرندک، ب- تصویر میکروسکوپ الکترونی پس پراکنده (BSE) از شابازیت در زمینه ناتروولیت، پ- تصویر میکروسکوپی از سنگ بازالت آندزیت با بافت بادامکی که بلورهای پلاژیوکلاز (Pl) در زمینه شیشه‌ای دیده می‌شود، پلاژیوکلازها به زئولیت‌های رشتهدی تبدیل شده‌اند و حفره‌ها توسط کانی‌های زئولیتی اغلب ناتروولیت پر شده‌اند، ت- تصویر میکروسکوپی مقطع عرضی بلورهای شکل‌دار مزوولیت در زمینه‌ای از کلسیت، ث- تصویر میکروسکوپی شابازیت در حفره‌های سنگ‌های بازالتی به صورت لوزی شکل همراه با دیگر کانی‌های زئولیتی، ح- مقطع میکروسکوپی در نور قطبیده متقاطع (XPL) از قطعه‌های تامسونیت در رگه‌ای از زئولیت در سنگ بازالتی، ج- بلورهای بی‌شکل آنالسیم به صورت پر کننده فضاهای خالی، ح- تصویر میکروسکوپی از کلسیم استیلیبیت در حفره‌های سنگ‌های بازالتی منطقه پرندک، خ- کلریت و اسمکتیت که به صورت آستر حفره‌ها را احاطه کرده اند، د- تصویر میکروسکوپی از کلسیت‌های نسل اول (I) و دوم (II) در بادامک‌ها و حفره‌های سنگ‌های بازی منطقه پرندک، ذ- تصویر میکروسکوپی از بادامک و حفره‌های پر شده با زئولیت و کلسیت در زمینه شیشه‌ای و ر- تصویر XPL از رگه موجود در سنگ آندزیتی تشکیل شده از کلسیم استیلیبیت و کوارتز. (علام اختصاری عبارتند از: Sco اسکولسیت، Cbz شابازیت، Nat ناتروولیت، Mes مزوولیت، Thm تامسونیت، Anl آنالسیم، Stb-Ca استیلیبیت، amyg amygdale، Chl چلریت، Qtz کلسیدونی، C/S کلریت/اسمکتیت، Cal کلسیم استیلیبیت، Zeo زئولیت [۱۰]).



شکل ۴ الف- الکوی پراش پرتوی ایکس از ناترولیت ( $\text{Na}^+$ ) موجود در رگه زئولیتی گذازه‌های منطقه پرندک و ب- نمودار مثلثی پراکندگی کاتیون‌های فرا شبکه‌ای در ساختار زئولیت‌های فراشبکه‌ای ناترولیت، آنالسیم و تتراناترولیت بیش از ۹۸ درصد سدیم داشته و اسکولوسیت، استیلبلیت و اپیاستیلبلیت نیز بیشترین کاتیون‌های دو ظرفیتی را دارند.

های مورد بررسی ۶۱ درصد و نسبت  $\text{Si}/\text{Al}$  برابر با ۱/۶۰ بدست آمده است. نسبت  $\text{Na}/(\text{Na}+\text{Ca})$  مزولیت‌ها در منطقه پرندک به طور میانگین حدود ۰/۴۸ محاسبه شده است (جدول ۱). مزولیت‌های منطقه مورد بررسی شباهت زیادی با دیگر مراجع معتبر [۱۳، ۱۵، ۱۶] دارد و فرمول میانگین محاسبه شده برای آنها به صورت  $(\text{Ca}_{13.52}, \text{Na}_{12.61}, \text{K}_{0.39})[\text{Al}_{46.81}\text{Si}_{74.71}\text{O}_{240}] \bullet 64\text{H}_2\text{O}$  است.

### تتراناترولیت

تتراناترولیت در بادامک‌ها، رگ‌ها، رگچه‌ها و پوک سنگ‌های بازالتی و آندزیتی رخ داده و همچنین طی فرآیند زئولیتزایی جانشین درشت بلورهای بلازیوکلاز شده است (شکل ۳ ب). این نوع زئولیت رشته‌ای نسبتاً کمیاب بوده و در نمونه دستی سفید رنگ و از نظر میکروسکوپی بسیار مشابه ناترولیت است که به واسطه دوشکستی بیشتر (شکل ۳ الف) و جانشینی  $\text{Ca}$  به جای  $\text{Na}$  و  $\text{Si}$  متمایز می‌شود. انواع غنی از سدیم آن طویل شدگی مثبت نشان می‌دهد. قطب غنی از کلسیم آن گتاردیت در نظر گرفته می‌شود [۱۷]. مقدار  $T_{\text{Si}}$  آرمانی آن ۶۱ درصد و نسبت ایده‌آل  $\text{Si}/\text{Al}$  در گستره ۰/۵۴ است. بر اساس نتایج تجزیه ریزپردازش نقطه‌ای در این پژوهش، مقدار  $T_{\text{Si}}$  برابر با ۶۰ درصد و نسبت  $\text{Si}/\text{Al}$  برابر با ۱/۵۳ بوده و ممکن است مقدار کمی  $\text{K}$ ،  $\text{Fe}^{+3}$  و  $\text{Ca}$  جایگزین  $\text{Na}$  و  $\text{Ca}$  شده باشد (جدول ۱). آنها تشابه بسیاری با تتراناترولیت‌های مورد بررسی در مراجع [۱۲، ۱۳] نشان می‌دهند. فرمول میانگین محاسبه شده تتراناترولیت منطقه پرندک به صورت  $(\text{Na}_{13.02}, \text{Ca}_{1.00}, \text{K}_{0.01})[\text{Al}_{15.86}\text{Si}_{24.27}\text{O}_{80}] \bullet 16\text{H}_2\text{O}$  است.

بر اساس نتایج تجزیه ریزپردازشی، سدیم کاتیون مهم در ساختار بلوری آن است (شکل ۴ ب) و دیگر کاتیون‌ها در حد آثار رخ داده‌اند. میانگین نسبت  $\text{Tsi} = \text{Si}/\text{Si} + \text{Al}$  حدود ۰/۶۱ محاسبه شده است (جدول ۱). گفتنی است که ناترولیت‌های لبه حفره‌ها مقدار اکسید کلسیم کمتر از ۰/۵ درصد وزنی نشان داده و در مرکز حفره این زئولیت رشته‌ای، به تدریج مقدار کلسیم آن افزایش یافته است. این ویژگی در ناترولیت‌های منطقه فوهه‌برگ آلمان نیز دیده شده است [۵، ۱۱]. سرانجام ترکیب شیمیایی میانگین ناترولیت به فرمول  $(\text{Na}_{11.40}, \text{Ca}_{0.40}, \text{K}_{0.03})[\text{Al}_{15.61}\text{Si}_{25.20}\text{O}_{80}] \bullet 16\text{H}_2\text{O}$  نظری و نمادین آن در مراجع معتبر بسیار نزدیک بوده و به است.

### مزولیت

مزولیت اغلب در رگ‌چه‌ها و بادامک‌های سنگ‌های آتشفسانی (بازالت و آندزیت) رخ می‌دهد. تصویر میکروسکوپی آن بیشتر به صورت رشته‌ای، بی‌رنگ تا سفید و زرد است که به طور معمول خاموشی مایل دارد. تشخیص این کانی به همراه دیگر کانی‌های رشته‌ای تا اندازه‌ای مشکل است، اما در مقطع عرضی به شکل مربع دیده می‌شود (شکل ۳ ت). ترکیب آن بین ناترولیت و اسکولوسیت در نظر گرفته می‌شود. همچنین مقدار  $\text{Si}$  و  $\text{Al}$  در مزولیت می‌تواند بسیار نزدیک به مقدار آن‌ها در ناترولیت و اسکولوسیت باشد [۱۲]. در برخی موارد، کلسیم  $(\text{Na} + \text{K})/\text{(Mg} + \text{Ca} + \text{Sr} + \text{Ba})$  از ۰/۴۵ تا ۰/۵۲ در این کانی متغیر است [۱۴]. تجزیه شیمیایی مزولیت‌های منطقه پرندک مقدار متوسط  $\text{SiO}_2$  را برابر با ۴۸/۹۲ و  $\text{Al}_2\text{O}_3$  را برابر با ۲۶ درصد وزنی نشان داده است. مقدار متوسط  $T_{\text{Si}}$  برای مزولیت نمونه-

جدول ۱ نتایج تجزیه به روش ریزپردازش الکترونی (EPMA) زئولیت‌های معرف موجود در سنگ‌های بازی و حدوداً منطقه پرندک. (علامت-های اختصاری عبارتند از: Sco اسکولسیت، Cbz شابازیت، Nat مزولیت، Mes تامسونیت، Anl آنالسیم، Stb-Ca کلسیم استیلیبیت، Epi.Stb اپی استیلیبیت، Tetr. Nat تتراتناترولیت).

کانی	Cbz	Mes	Thm	Nat	Tetra. Nat	Epi. stb	Anl	Stb-Ca	Sco
نمونه	P5	P16	P5	P16	P5	P5	P5	P16	P5
SiO <sub>2</sub>	۵۰,۱۸	۴۹,۴۲	۴۵,۹۳	۵۱,۳۲	۴۷,۹۷	۵۰,۵	۵۲,۹۱	۵۶,۶۳	۴۹,۰۳
TiO <sub>2</sub>	۰,۰۱	۰,۰۱	۰,۰۰	۰,۰۱	۰,۰۱	۰,۰۰	۰,۰۰	۰,۰۰	۰,۰۰
Al <sub>2</sub> O <sub>3</sub>	۲۱,۶۳	۲۶,۱۲	۲۶,۹۰	۲۷,۰۵	۲۵,۷۹	۱۶,۰۱	۲۴,۸۵	۱۷,۰۱	۲۶,۰۱
FeO	۰,۱	۰,۱	۰,۲	۰,۰	۰,۱	۰,۰	۰,۲	۰,۰	۰,۱
MnO	۰,۰	۰,۰	۰,۰	۰,۰	۰,۰	۰,۰	۰,۰	۰,۰	۰,۰
MgO	۰,۰	۰,۱	۰,۰	۰,۰۶	۰,۰۱	۰,۰۷	۰,۴۸	۰,۰	۰,۰۳
CaO	۱۳,۸۹	۸,۲۵	۱۱,۳۲	۰,۰۹	۱,۵۶	۹,۵۰	۰,۳۹	۸,۰۳	۱۳,۲
Na <sub>2</sub> O	۰,۱۰	۴,۱۲	۲,۳۹	۱۲,۳	۱۳,۲۳	۱,۶۸	۱۲,۷۳	۰,۷۱	۰,۲۱
K <sub>2</sub> O	۰,۰۳	۰,۱۹	۰,۰۲	۰,۰۶	۰,۰۱	۰,۰۲	۰,۰۹	۰,۰۱	۰,۰۱
BaO	۰,۰	۰,۰۱	۰,۰۱	۰,۰	۰,۰	۰,۰	۰,۰۷	۰,۰	۰,۰
مجموع	۸۹,۶۸	۸۸,۲۳	۸۷,۷۱	۹,۰۹۱	۸۸,۶۰	۷۷,۸۲	۹۱,۴۷	۸۲,۵۵	۸۸,۴۶
O	۲۴	۲۴۰	۸۰	۸۰	۸۰	۹۶	۹۶	۷۲	۸۰
کاتیونها									
Si	۷,۸۴	۷۵	۲۳,۷	۲۵,۱۶	۲۴,۵۹	۳۴,۳۲	۳۱,۱۱	۲۶,۷۲	۲۴,۷۵
Al	۳,۹۸	۴۶,۷۲	۱۶,۳۶	۱۵,۰۴	۱۵,۵۸	۱۲,۸۲	۱۷,۲۳	۹,۴۴	۱۵,۴۸
Ti	۰,۰	۰,۰۱	۰,۰	۰,۰۱	۰,۰	۰,۰	۰,۰	۰,۰	۰,۰
Fe	۰,۰	۰,۰۱	۰,۰	۰,۰	۰,۰	۰,۰	۰,۰۱	۰,۰	۰,۰
Mn	۰,۰	۰,۰	۰,۰	۰,۰	۰,۰	۰,۰	۰,۰	۰,۰	۰,۰
Mg	۰,۰	۰,۱۳	۰,۰	۰,۱	۰,۱	۰,۰۷	۰,۴۲	۰,۰	۰,۰۲
Ca	۲,۲۳	۱۳,۴۱	۶,۲۶	۰,۷۶	۰,۸۶	۶,۹۲	۰,۲۵	۴,۰۵	۷,۱۴
Na	۰,۰۳	۱۲,۱۲	۲,۳۹	۱۱,۰۹	۱۳,۱۵	۲,۲۱	۱۴,۵۲	۶۵,۰	۰,۲۰
K	۰,۰۳	۰,۳۷	۰,۰۱	۰,۰۳	۰,۰۱	۰,۰۱	۰,۰	۰,۰۱	۰,۰
Ba	۰,۰	۰,۰	۰,۰	۰,۰	۰,۰	۰,۰	۰,۰	۰,۰۱	۰,۰
Tsi [	۰,۶۶	۰,۶۱	۰,۵۹	۰,۶۲	۰,۶۱	۰,۷۳	۰,۶۴	۰,۷۴	۰,۶۱
Si/Al	۱,۹۷	۱,۶۱	۱,۴۵	۱,۶۲	۱,۵۸	۱,۶۸	۱,۸۱	۲,۸۳	۱,۶۰
Na/Na+Ca	۰,۰۱	۰,۴۷	۰,۳۵	۰,۹۴	۰,۹۴	۰,۲۴	۰,۹۸	۰,۱۴	۰,۰۳

□ T<sub>Si</sub>= Si/(Si+Al)

برآمده از تجزیه تامسونیت‌های منطقه پرندک با دستگاه ریز کاو الکترونی را نشان می‌دهد که مقدار T<sub>Si</sub> به طور میانگین برابر با ۶۰ درصد و نسبت Si/Al حدود ۱/۴۸ بود است آمدۀ است. در نمونه‌های این پژوهش، مقدار Ca نسبت به Na بیشتر است، هرچند در معدود نقاط جهان سدیم‌دار آن نیز گزارش شده است [۱۹]. تامسونیت‌های منطقه پرندک شباهت بسیاری با تامسونیت‌های مراجع معتبر [۱۳, ۲۰, ۱۹, ۲۱] نشان می‌دهد و فرمول میانگین محاسبه شده برای آن به صورت (Ca<sub>6,62</sub>, Na<sub>3,29</sub>, K<sub>0,01</sub>) [Al<sub>16,06</sub> Si<sub>23,63</sub> O<sub>80</sub>] • 24H<sub>2</sub>O است.

### اسکولسیت

بلورهای اسکولسیت در نمونه دستی شفاف تا سفید رنگ هستند (شکل ۲ پ). نسبت (Na+K)/(Na+Ca) در نمونه‌های مورد بررسی بین ۰ تا ۰,۳۰ است. اسکولسیت مقادیر زیادی دارد، کلسیم اما سدیم و پتاسیم آن بسیار ناقیز است (جدول ۱). تجزیه شیمیایی اسکولسیت منطقه پرندک نشان می‌دهد

این کانی اغلب با دیگر زئولیت‌ها چون ناترولیت (شکل‌های ۳ ب، ث)، مزولیت و دیگر کانی‌های ثانویه مانند کوارتر و کربنات دیده می‌شود [۱۶]. شابازیت سفید و روشن و به صورت لوزی شکل مشاهده شده و بیشتر همراه با کلسیت است (شکل ۳ ث). شکل ۳ ب تصویر ریزپردازشی شابازیت همراه با ناترولیت است که شابازیت با رنگ روشن‌تری نسبت به ناترولیت در شکل دیده می‌شود. نسبت Na/Na+Ca در نمونه‌های مورد بررسی حدود ۰,۱۰ و مقدار T<sub>Si</sub> برای شابازیت‌های منطقه پرندک برابر با ۶۶ درصد است. با توجه به گستره استاندارد در مراجع معتبر و فرمول بدست آمده برای آن به صورت (Ca<sub>1,9</sub>, Na<sub>0,4</sub>)<sub>4</sub>[Al<sub>4,3</sub>Si<sub>7,8</sub>O<sub>24</sub>] 12H<sub>2</sub>O است.

### تاباگونیت

تامسونیت به صورت قطعه‌های بلوری (شکل ۳ ج)، مسطح و گاهی همراه با ناترولیت تشکیل شده است. جدول ۱ نتایج

میکروسکوبی دارای رخ نمایان‌تری نسبت به استیلیبیت بوده و از زئولیت‌های صفحه‌ای است. اپی استیلیبیت از نظر ترکیب شیمیایی، مقدار کلسیم و سیلیسیم بالاتری نسبت به استیلیبیت دارد. براساس نتایج تجزیه شیمیایی، مقدار  $T_{Si}$  در آن برابر با ۷۲ درصد و نسبت  $Si/Al$  آن برابر با  $2.67 \pm 0.2$  برابر  $Na/Na+Ca$  بودست آمد است (جدول ۱). فرمول میانگین محاسبه شده برای اپی استیلیبیت منطقه پرندک به صورت  $(Na_{2.21} Ca_{6.91.78} K_{0.01})[Al_{12.81} Si_{34.32} O_{96}] \cdot 32H_2O$  است.

#### دیگر کانی‌های ثانویه

اسمکتیت یک کانی رسی است که در زیر میکروسکوب بی‌رنگ قهقهه‌ای دیده می‌شود و به صورت آستر تعداد محدودی از حفره‌ها را حاطه کرده است (شکل ۳ خ). رخداد دو نسل کلسیت I و کلسیت II بیانگر تقدم و تاخر در تبلور این کانی است (شکل ۳ د). کلسیت I به صورت آستر، دیواره درونی حفره‌ها و بادامکها را احاطه کرده و گاهی نیز حفره‌ها و بادامکها را کاملاً پُر کرده است (شکل ۳ ذ). کلسیت II درون بادامکها و به صورت رگچه‌های بسیار ظریف بر کانی‌های زئولیت تشکیل شده است. برخی از بادامکها و رگچه‌ها با کوارتز و کلسیونی پر شده‌اند (شکل ۳ ر). کوارتز و کلسیونی یک فاز جدأگانه از کانی‌های ثانوی را تشکیل می‌دهند و این نوع سیلیسیم‌ها زئولیت‌ها را همراهی نمی‌کنند و در واحد سنگی دیگری رخ داده‌اند، اما از نظر توالی تشکیل در مرحله آخر تشکیل کانی‌های ثانوی قرار دارند.

#### بحث

نتایج این بررسی نشان داد که در منطقه پرندک، تنوع بسیاری از کانی‌های زئولیتی و دیگر کانی‌های ثانویه در سنگ‌های الیوین بازالت، بازالت آندزیتی و آندزیتی وجود دارد. سیال گرمابی می‌تواند آب جوان خارج شده در مرحله نهایی انجماد مذاب، آب‌های زیر زمینی نزدیک سطح زمین که آب جوی خوانده می‌شود و سیال‌های برآمده از برهم کنش‌های ناشی از دگرگونی باشد [۲۶] نفوذ سیال گرمابی و گردش در سنگ می‌تواند موجب تغییر در ترکیب کانی‌شناسی اولیه (شکل ۳ پ) و در نتیجه دگرسانی خمیره شیشه‌ای سنگ شود و عناصر مورد نیاز برای زئولیت‌زاویی که موجب پرشدگی حفره‌ها، بادامکها و شکستگی‌ها و از سوی دیگر جانشینی پلاژیوکلاز می‌شود را تأمین کند [۳، ۲۷]. سنگ‌های واقع در نزدیکی سطح زمین بیشتر آمادگی تغییر توسط واکنش‌های ویژه بین سنگ‌های آتشفسانی و سیال‌های زیرزمینی یا محلول‌های

که مقدار  $T_{Si}$  برابر با ۶۱ درصد و نسبت‌های  $Al/Si$  و  $(Na+K)/(Na+Ca)$  به ترتیب برابر با  $1.59 \pm 0.02$  است (جدول ۱). اسکولسیت منطقه پرندک با استاندارهای مطرح شده هموارانی خوبی دارد [۲۲]. فرمول میانگین اسکولسیت منطقه پرندک به صورت  $(Ca_{7.78}, Na_{0.2})[Al_{15.52} Si_{24.75} O_{80}] \cdot 24H_2O$  است.

#### آنالسیم

آنالسیم به عنوان پرکننده حفره‌ها (شکل ۳ چ) در حالیکه در لبه درونی حفره‌های سنگ‌های آذرین بازی و حدواسط (بازالت و آندزیت) تشکیل شده است می‌تواند نشان دهنده تشکیل آن در نخستین مرحله زئولیت‌زاویی باشد. زئولیت‌های همراه آن به طور معمول ناترولیت و تراناناترولیت هستند. گستردگی آنالسیم در نقاط مختلف جهان از جمله ایسلند، آلمان، چک، کانادا و ایران نشان دهنده پایداری آن در گسترهای از دما و فشار است [۲۳]. نسبت  $Si/Al$  در نمونه‌های مورد بررسی به طور میانگین  $1.81 \pm 0.2$  است. این نسبت در آنالسیم‌های با خاستگاه رسوی و دگرگونی بیش از  $2/2$  است. برای آنالسیم‌های منطقه، مقدار  $T_{Si}$  به طور متوسط برابر با  $64 \pm 4$  درصد (جدول ۱) و نسبت  $Na/Na+Ca$  برابر با  $0.99 \pm 0.01$  است. ترکیب شیمیایی آنالسیم‌های موجود در منطقه  $(Na_{14.69}, Ca_{0.14}, Mg_{0.2})[Al_{17.25} Si_{31.21} O_{96}] \cdot H_2O$  با مراجع علمی [۱۴، ۱۸، ۲۴] هموارانی دارد.

#### استیلیبیت

استیلیبیت به صورت بلورهای صفحه‌ای شکل اغلب در حفره‌های سنگ‌های بازی منطقه مورد بررسی تشکیل شده است. آنها عموماً خوش‌های و به صورت بلورهای کوچک به رنگ سفید تا بی‌رنگ بوده و در ابعاد میانگین  $0.8 \times 0.8 \text{ میلی‌متر}$  دیده می‌شوند (شکل ۳ ح). مقدار  $T_{Si}$  در آنها حدود  $71 \pm 6$  درصد و نسبت  $Si/Al$   $2.56 \pm 0.08$  محاسبه شده است (جدول ۱). کلسیم بیشترین کاتیون فراشیکه‌ای آنها محسوب می‌شود (شکل ۴ ب)، از این رو از واژه استیلیبیت کلسیم‌دار برای آن استفاده می‌شود [۲۵، ۱۸]. فرمول میانگین استیلیبیت کلسیم‌دار منطقه پرندک به صورت  $(Ca_{5.78}, Na_{0.67}, K_{0.03}, Mg_{0.01})[Al_{9.82} Si_{25.54} O_{72}] \cdot 28H_2O$  بدست آمد است.

#### اپی استیلیبیت

این کانی بسیار کمیاب بوده و در شمال شرق منطقه پرندک دیده و بسیار شبیه استیلیبیت است، از این رو در بررسی‌های

پایدارند [۸]. این ویژگی در نمودار پایداری زئولیت‌ها به خوبی مشهود است (شکل ۵). میزان<sup>۳</sup> جانشینی زئولیت‌ها در کانی‌های اولیه در مرحله نخست و تحرک Na در خلل و فرج نشان دهنده تحرك بالای عناصر است. تشکیل زئولیت‌های غنی از سدیم نیازمند نسبت بالای  $\text{Na}^+/\text{H}^+$  و مقدار کم  $\text{H}_2\text{O}$  در محیط است (شکل ۵ پ).

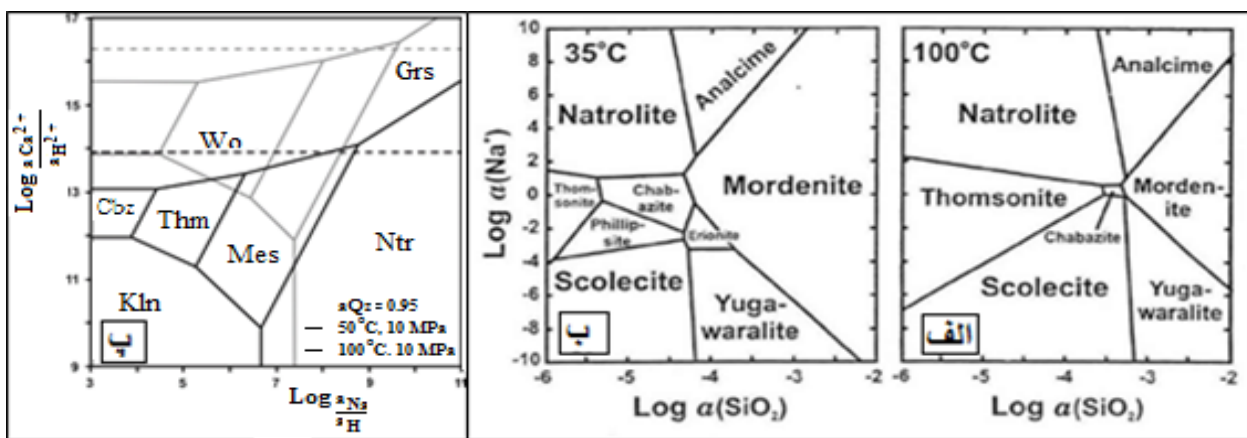
همچنین نسبت Si/Al در تعیین نوع و ترکیب زئولیت‌ها مؤثر است [۱۱]. بطوریکه پس از تشکیل زئولیت‌های سدیمی، کاهش آلکالینیته سیال سبب تشکیل زئولیت‌های مرحله دوم (کلسیمی-سدیمی) در شرایط مساعد می‌شود [۱۱]. مزولیت، تامسونیت، استیلیبیت کلسیم‌دار، اسکولسیت و شابازیت کلسیم بالا سدیم کمی دارند که در اثر فعالیت بالای Ca در حفره‌ها و شکستگی‌ها نهشته شده است. کاهش میزان قلیایی بودن سبب افزایش Si و در نتیجه افزایش نسبت Si/Al می‌شود (شکل ۶ الف).

شکل ۶ الف گستره وسیعی از نسبت Si/Al و کاتیون‌های Ca, K, Na را نشان می‌دهد که این خود می‌تواند نشانگر مراحل مختلف محلول گرمابی در تشکیل آنها باشد. شکل ۶ ب یک طرح به نسبت ساده همبزایی برای زئولیت‌ها و کانی‌های همراه آنها در لبه تا مرکز حفره‌ها، رگه و رگچه‌های زئولیتی در مقاطع مورد بررسی را نشان می‌دهد.

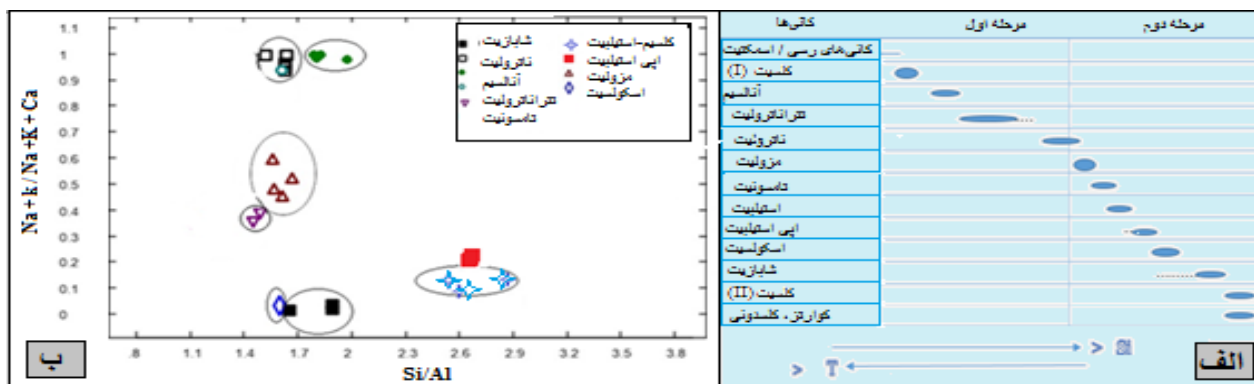
زئولیت‌های مرحله نخست یا سدیمی با ویژگی باز درشت و کشیده بودن در حفره‌ها، بادامک‌ها، رگه و رگچه‌ها شناسایی می‌شوند، در صورتی که زئولیت‌های مرحله دوم یعنی زئولیت‌های کلسیمی که از محلول‌های گرمابی غنی از کلسیم تشکیل شده‌اند مانند اسکولسیت و یا صفحه‌ای مانند شابازیت و استیلیبیت بیشتر رشته‌ای هستند. افزون بر این، واحد  $\text{M}^{\text{m}}\text{u}$  با  $\text{E}^{\text{a-b}}$  و  $\text{E}^{\text{ap}}$  در تأمین Ca مورد نیاز زئولیت‌های مرحله دوم (کلسیمی-سدیمی) موثر بوده و به نظر می‌رسد که آب‌های جوی در اتحلال و انتقال Ca نقش داشته‌اند.

برای تشکیل زئولیت می‌توان تصور کرد که با توجه به درشت و کشیده بودن زئولیت‌ها و انباست آنها در بادامک‌ها و حفره‌ها [۲، ۳۲، ۳۳]، همچنین به اعتقاد گراهام و همکاران ختناناترولیت خاستگاه گرمابی دارد. گفتنی است که نبود کانی‌های معرف دگرگونی مانند پرهنیت - پومپله‌ایت پیشنهاد خاستگاه گرمابی را تقویت می‌کند. زئولیت‌ها ممکن است طی فعالیت آتشفسانی یا پس از آن تشکیل شوند اما احتمال تشکیل آنها بر اثر دگرسانی گرمابی بیشتر است [۳۳].

گرمابی را دارند [۱۰، ۲۸]. روند تکامل و ارتباط کانی‌ها در مجموعه آتشفسانی ناحیه مورد بررسی شیاهت بسیاری به مجموعه آتشفسانی کوه اراده تهران [۲۹] و فنولیت فوهبرگ آلمان [۱۰] دارد. جریان گرمای محلی، فعالیت یونی سیال منفذی (حفره‌ای)، نفوذپذیری و تخلخل سنگ میزان در پراکندگی زئولیت‌ها و توزیع کانی‌های همراه مؤثر است. سنگ‌های آندزیت و بازالت پورفیری (واحد  $\text{E}^{\text{ap}}$ ) تخلخل بیشتری نسبت به واحد بازالت-آندزیت ( $\text{E}^{\text{a-b}}$ ) نشان می‌دهند در نتیجه فعالیت زئولیت‌زاوی در واحد آندزیت پورفیری ( $\text{E}^{\text{ap}}$ ) از تراکم بیشتری برخوردار است. مسیر محلول‌های گرمابی ممکن است تفاوت قابل ملاحظه‌ای داشته باشند، حتی برای حفره‌های کاملاً نزدیک به هم این احتمال وجود دارد که یک تغییر در ماهیت تبادل یونی زئولیت‌های یک حفره رخ دهد. عناصر شیمیایی لازم برای تشکیل این فاز کانی‌ها می‌تواند بطور مستقیم در نتیجه شیشه‌زادی آزاد شود. در واقع، مهم‌ترین عامل تعیین ترکیب شیمیایی زئولیت‌ها ماده دگرسان شده و ترکیب محلول دگرسان کننده است [۱۴]. ممکن است برخی از عناصر لازم و سازنده این زئولیت‌ها توسط آب‌های جوی فراهم شده باشد. ترکیب سیال می‌تواند در تعیین نوع زئولیت تأثیر به سزایی داشته باشد. فعالیت بالای  $\text{Na}^+\text{K}^+\text{Ca}/\text{H}^+$  پارامتر مهمی محسوب می‌شود، همچنین pH بیش از ۹ سرعت تشکیل زئولیت‌ها را افزایش می‌دهد [۳۰]. شکل گیری زئولیت‌ها از دگرسانی شیشه نسبت به کانی‌های مبتلور نیز با سرعت بالاتری صورت می‌گیرد؛ بدین صورت که شیشه‌های غنی از قلیایی و دارای مقدار کم سیلیس احتمالاً واکنش پذیرترین مواد طبیعی رایج هستند [۳۱]. شیارد و هی [۳۱] در یک ستون سنگی با شبی عمودی، زئولیت‌های آبدارتر در سطح و زئولیت‌های با کمترین آب در عمق را پیشنهاد کرده‌اند. بر پایه ویژگی‌های بافتی و زمین‌شیمیایی، می‌توان دو مرحله برای زئولیت‌زاوی تشخیص داد. زئولیت‌هایی که در مرحله نخست در منطقه ته-نشین شده‌اند از نوع سدیمی مانند آنالسیم، ناترولیت و تتراناترولیت هستند که در پیوند با تغییرات واپسته به ترکیب سیال و شرایط محلی فعالیت سدیم نسبت به هیدروژن تشکیل شده‌اند. ناترولیت از طریق دگرسانی پلاژیوکلاز نیز تشکیل و جانشین آن شده است که این رویداد توسط پژوهشگران دیگر نیز گزارش شده است (برای مثال، [۱۱، ۲۸]). زئولیت‌های موجود در لبه داخلی حفره‌ها مانند ناترولیت، آنالسیم و تتراناترولیت در ساختار خود آب کمتری نسبت به زئولیت‌های مرحله دوم (کلسیمی-سدیمی) دارند و در دما و فشار بالاتری



شکل ۵ الف- نمودار  $\log a_{\text{SiO}_4}$  نسبت به  $\log a_{\text{Na}}$  برای حفره‌های موجود در سنگ‌های آتشفشنی بازی محاسبه شده در دماهای ۳۵ و ۱۰۰ درجه سانتیگراد [۳۴]. ب- نمودار پایداری کانی در دماهای ۵ و ۱۰۰ درجه سانتیگراد و فشار ۱۰ مگاپاسکال به عنوان تابعی از فعالیت کاتیون در سامانه  $\text{Al}_2\text{O}_3-\text{Na}_2\text{O}-\text{CaO}-\text{SiO}_2-\text{H}_2\text{O}$  که با فرض موازنی آلومینینیم و کوارتز زیر اشباع ( $a_{\text{Qz}}=0.95$ ) و  $a_{\text{H}_2\text{O}}=1$  محاسبه شده است [۲۸]. علائم اختصاری عبارتند از: Wo ناترولیت، Ntr کائولینیت، Cbz گروسولار، Mes مزولیت، Thm شابازیت، Kln تامسونیت.



شکل ۶ الف- نمودار  $\text{Si}/\text{Al}$  نسبت به  $\text{Na}+\text{K}/\text{Na}+\text{K}+\text{Ca}$  برای تعیین ترکیب زئولیت‌ها در منطقه پرندک که تغییرات گسترده‌ای را در نسبت  $\text{Na}+\text{K}/\text{Na}+\text{K}+\text{Ca}$  نشان می‌دهد و ب- توالی تبلور زئولیت‌ها در حفره‌ها و شکستگی‌ها سنگ‌های بازی منطقه پرندک.

است از: آنالسیم ۶۵ تا ۳۰۰ درجه سانتی‌گراد که در صورت هم‌بودن آن با ناترولیت در دمای ۱۰۰ درجه سانتی‌گراد رخ می‌دهد و تتراناترولیت حدود ۱۱۰ درجه سانتی‌گراد که برای منطقه کهریزک تهران ۱۵۰ درجه سانتی‌گراد پیشنهاد شده است و اغلب در دمای کمتر از ۲۰۰ درجه سانتی‌گراد تشکیل می‌شود [۱۷]. تغییر ترکیب مایع طی جایگزینی به صورت تابعی از فعالیت سلیس محلول و  $\text{H}_2\text{O}$  در نظر گرفته می‌شود که این تغییر در سیال توسط سنگ میزان نیز کنترل می‌شود [۱۱]. با کاهش دمای جایگزینی Ca در ساختار شابازیت و تبلور نهایی، سایر کانی‌های کلسیمی - سدیمی مانند مزولیت، تامسونیت، استیلیبیت و اسکولسیت تشکیل می‌شوند. در پهنه زمین‌گرمایی پایداری، مزولیت ۷۰ تا ۱۰۰ درجه سانتی‌گراد، تامسونیت ۶۰ تا ۱۱۰، کلسیم استیلیبیت ۷۵ تا ۲۰۰ و شابازیت

فعالیت بالای  $\text{CO}_2$  در سیال شامل Ca می‌تواند منجر به تشکیل کلسیت شود [۳۱]، در حالیکه بیشتر زئولیت‌ها در فشار پایین  $\text{CO}_2$  شکل می‌گیرند [۴].

فازهای غنی از سیلیس مانند کوارتز و کلسونی (شکل ۳) به ویژه در واحد بازلت-آندرزیت ( $E^{a-b}$ ) در راستای درزهای می‌توانند نشان دهنده برهم کنش‌های سنگ با سیال اسیدی باشند. pH پایین سیال‌های اسیدی شرایط را برای تمدنیت کوارتز و چندريخت‌های آن فراهم می‌کند [۲۸]. همراه با پوک سنگ و رگچه‌هایی که سیلیس و چندريخت‌ها در آنها تشکیل شده‌اند هیچ گونه زئولیتی دیده نمی‌شود.

دما برای گونه‌های زئولیتی به وسیله مقایسه با همارز طبیعی خود برآورده شده است. دمای گزارش شده از زئولیت‌های مختلف در سیستم‌های زمین‌گرمایی فعال [۳۵] عبارت

- [5] Weisenberger T., Spurgen S., "Zeolite in alkaline rock of the Kasersuhl volcanic complex, SW Germany-new microprobe investigation and relationship of zeolite mineralogy to the host rock", Geologica Belgica 12 (2009) 75-91.
- [6] Aqanbati A., "Geology of Iran", Geological Survey of Iran Geological organization and mineral exploration of Iran (2004) 582 pages.
- [7] Amidi M., "Geological map 1:100000 Zavieh" Geological organization and mineral exploration of Iran (2005).
- [8] Triana J. M., Herrera J. F., Rios C. A., Castellanos O. M., Henao J. A., Williams C., Roberts C., "Natural zeolites filling amygdales and veins in basalts from the British Tertiary Igneous Province on the Isle of Skye, Scotland", Earth Sciences 16(1) (2012) 41-53.
- [9] Winchester J. A., Floyd P. A., "Geochemical discrimination of different series and their differentiation products using immobile elements", Chem. Geology 20(4) (1977) 325-343.
- MacDonald G. A. "Composition and Origin of Hawaii Lavas", Geological Society of America Memoirs 116 (1968) 477-522.
- [10] Weisenberger T. B., Spurgen S., Lahaye Y., "Hydrothermal alteration and zeolitization of the Fohberg phonolite, Kaiserstuhl Volcanic Complex, Germany", International Journal Earth Science (Geology Rundsch) 103 (2014) 2273-2300.
- [11] Ross M., Flohr M. J. K., Ross D. R., "Crystalline solution series and order-disorder within the natrolite mineral group", American Mineral 77 (1992) 685-703.
- [12] Passaglia E., Sheppard R. A., "The Crystal Chemistry of Zeolites. In: Natural Zeolites: Occurrence, Properties, Applications" Mineralogical Society of America Geochemical Society 45 (2001) 69-116.
- [13] Deer W., Howie R., Zussman J., Wise W., "Rock Forming Minerals, 4B. Framework Silicates: Londres. Gran Bretaña" The Geological Society, 2a Edicion, (2004) 982p.

۲۵ تا ۱۵۰ درجه تشکیل شده‌اند [۱۳]. با توجه به نوع زئولیت-ها و کانی‌های ثانویه‌ی وابسته و نیز با در نظر گرفتن توالی همبrij آنها، همچنین با توجه به دمای زئولیت‌زایی گزارش شده دمای زئولیت‌زایی در مرحله نخست بین ۵۰ تا ۱۵۰ و در مرحله دوم کمتر از ۱۰۰ درجه سانتی‌گراد پیشنهاد می‌شود.

#### برداشت

توالی زئولیت‌ها و کانی‌های همراه آنها در بادامک‌ها، رگه‌ها و رگچه‌ها در سنگ‌های آتش‌شانی ائوسن میانی تا بالای منطقه پرندک از خارجی‌ترین تا داخلی‌ترین به ترتیب شامل کانی‌های رسی، کلسیت نسل I، زئولیت‌های سدیمی، زئولیت‌های سدیمی-کلسیمی، کلسیت نسل II، کوارتز و کلسیونی می‌شود. توالی مشاهده شده در نمونه‌های مورد بررسی با سیستم گرمابی شناخته شده، همخوانی دارد. بنابراین رگه‌ها و بادامک‌ها کانی‌های زئولیتی متنوعی نشان می‌دهند که بسیار مناسب آموزش است. واکنش‌های بین سنگ‌های آتش‌شانی و محلول‌های گرمابی وابسته به دما، فشار، ترکیب سنگ میزبان و سیال است. با توجه به فراوانی متفاوت زئولیت‌ها در بادامک‌های این منطقه می‌توان نتیجه گرفت که مقدار مایع گرمابی احتمالاً ویژگی نفوذپذیری سنگ میزبان در نقاط مختلف یکسان نبوده است. افزون بر این، رخداد و ترکیب شیمیایی آنها توسط شرایط آب شناسی محلی، گرمابی، تخلخل سنگ میزبان، دما و فعالیت سیلیس محلول کنترل می‌شود. شکل‌گیری زئولیت‌ها طی دگرسانی محلول گرمابی در دمای کمتر از ۱۵۰ درجه سانتی‌گراد و در شرایط قلیایی رخ داده است.

#### مراجع

- [1] Bazargani-Guilani K., Rabbani M. S., Irajian A. A., "A review on Natural zeolites of Iran", Joint Meeting of The Geological Society of America (2008) 54-130.
- [2] Gottardi G., Galli E., "Natural zeolites", Springer, Berlin, Heidelberg, New York, Tokyo, (1985) 409.
- [3] Weisenberger T., Selbekk R. S., "Multi-stage zeolite facies mineralization in the Hvalfjordur area, Iceland", Journal Earth Science (Geol. Rundsch) 98 (2009) 985-999.
- [4] Weisenberger T., Bucher K., "Zeolites in fissures of granites and gneisses of the Central Alps", Journal of metamorphic Geology 28 (2010) 825-847.

- [22] Neuhoff P. S., Hovis G., Balassone G. Stebbine J. F., "Thermodynamic properties of analcime solid solutions", American Journal of Science 304 (2004) 21-66.
- [23] Karlsson H. R. Clayton R. N., "Analcime phenocrysts in igneous rocks: Primary or secondary", American Mineralogist 76 (1991) 189-199.
- [24] Chipera, S., Apps, J., "Geochemical stability of natural zeolites", Mineralogical Society of America 45 (2001) 117-161.
- [25] Whitney D. L., Evans, B. W., "Abbreviations for names of rock – forming minerals", American Mineralogist 95 (2010) 185-187.
- [26] Weisenberger T., Bucher K., "Mass transfer and porosity evolution during low temperature Water-rock interaction in gneisses of the simano nappe: Arvigo, Val Calanca, Swiss Alps", Contrib Mineral Petrol 162 (2011) 61-81.
- [27] Neuhoff P.S., Fridriksson T., Arnorsson S., "Porosity evolution and mineral paragenesis during low-grade metamorphism of basaltic lavas at Teigarhorn, Eastern Iceland", American Journal of Science 299 (1999) 467-501.
- [28] Kousehlar M., Weisenberger T. B., Tutti F., Mirnejad H., "Fluid control on low temperature mineral formation in volcanic rocks of Kahrizak, Iran", Geofluids 12 (2012) 295-311.
- [29] Taylor M. W., Surdam RC., "Zeolite reaction in tuffaceous sediments TeelsMarsh, Nevada", Clays and Clay Minerals 29 (1981) 341-352.
- [30] Sheppard R., Hay R., "Occurrence of zeolites in sedimentary rocks", Mineralogical Society of America 45 (2001) 217-234
- [31] Lagat J., "Hydrothermal alteration mineralogy in geothermal fields with case examples from Olkaria Domes geothermal field, Kenya", Presented at Short Course IV on Exploration for Geothermal Resources, organized by UNU-GTP, KenGen and GDC, at Lake Naivasha, Kenya. P.O. Box 100746. (2009) 1 – 24.
- [14] Abdioglu E., "Mineralogy and chemistry of zeolites and associated minerals in Tertiary alkaline volcanics from the Eastern Pontides, NE Turkey", mineralogy Abh 189,1 (2011) 35-47.
- [15] Bish D.L., Ming D.W., "Natural Zeolites: occurrence, properties, applications", Mineralogical Society of America, Geochemical Society 45 (2001) 654 p.
- [16] Evans JR, H. T., Judith A., Konnert, J. A., Ross M., "The crystal structure of tetranatrolite from Mont Saint-Hilaire, Quebec, and its chemical and structural relationship to paranatrolite and gonnardite", American Mineralogist 85 (2000) 1808-1815.
- [17] Coombs D.S., Alberti A., Armbruster T., Artioli G., Colella C., Galli E., Grice J.D., Liebau F., Mandarino J., Minato, H., Nickel, E., Passaglia, E., Peacor, D.R., Quartieri, S., Rinaldi, R., Ross, M., Sheppard, R.A., Tillmanns E., Vezzalini G., "Recommended nomenclature for zeolite minerals: report of the subcommittee on zeolites of international mineralogical association commission on new minerals and mineral names", The Canadian Mineralogist 35 (1997) 1571-1606.
- [18] Pawaiya P., Pawaiya A., Agrawal N., Tomar R., "Synthesis, Characterization of Thomsonite Zeolite for Knoevenagel Condensation", International Journal of Chemical and Physical Sciences 6 (2014) 2319-6602.
- [19] Baerlocher Ch., Mc Cusker L.B., Olson D. H., "Atlas of zeolite framework types", Rutgers University, Published on behalf of the Structure Commission of the International Zeolite Association by Amsterdam - London - New York - Oxford - Paris - Shannon - Tokyo (2007) 398p.
- [20] Stahl, K., Kvick, A. Smith, J.V. "Thomsonite, a neutron diffraction study at 13 K". Acta Crystallogr 46 (1990) 1370-1373.
- [21] Alberti A., Pongiluppi D., Vezzalini G., "The crystal chemistry of natrolite, mesolite and scolecite", Neues Jahrb. Mineral Abh 143 (1982) 231-248.

- [34] Graham I. T., Pogson R. E., Colchster D. M. Baines A., "Zeolite crystal habits, compositions, and paragenesis; Blackhead Quarry, Dunedin, New Zealand", *Mineral Mag* 67 (2003) 625-637.
- [35] Kristmannsdottir H., Tomasson J., "Zelite zones in geothermal areas in Iceland", In: Sand L.B. and Mumpton F.A. (Eds.) *Natural Zeolites*. Pergamon, Oxford (1978) 277-284.
- [32] Iijima A., Hay R.L., "Analcime composition in tuffs of Green River Formation of Wyoming", *American Mineralogist*, 53 (1968) 184-200.
- [33] Pe-Piper G., "Mode of occurrence, chemical variation and genesis of mordenite and associated zeolites from the Morden area, Nova Scotia, Canada", *The Canadian Mineralogist* 38 (2000) 1215-1232.